

中等专业学校教学用书

# 东鋼車間機械設備

冶金专科学校冶金机械教研組編



中国工业出版社

本书系统地讲述平炉、转炉和电炉炼钢车间典型机械设备的结构、工作原理、技术性能，以及主要参数计算等。

本书由冶金部教育司推荐作为中等专业学校冶金机械和炼钢专业教学用书，亦可供钢铁厂技术人员参考。

本书由上海冶金专科学校冶金机械教研组集体编写，在定稿以前又经北京石景山冶金学院冶金机械教研组详细审阅。

## 炼钢车间机械设备

上海冶金专科学校冶金机械教研组编

\*

冶金工业部图书编辑室编辑（北京猪市大街78号）

中国工业出版社出版（北京佟麟阁路丙10号）

（北京市书刊出版事业许可证出字第110号）

中国工业出版社第三印刷厂印刷

新华书店北京发行所发行·各地新华书店经售

\*

开本 787×1092<sup>1</sup>/16 · 印张 13<sup>1</sup>/8 · 插页 4 · 字数 302,000

1961年6月北京第一版 · 1962年1月北京第二次印刷

印数 3,034—4,143 · 定价（9—4）· 4.42 元

\*

统一书号：15165 · 6 （冶金—001）

# 目 录

<b>第一章 废鋼鐵處理設備</b>	1	§ 2 平爐換向裝置	107
§ 1 錘擊破碎機械——落錘	1	§ 3 补爐機	115
§ 2 打包機	9		
<b>第二章 平爐車間的布置</b>	17		
§ 1 車間生產過程	17		
§ 2 平爐車間的總圖布置	19		
§ 3 平爐車間的主厂房	23		
<b>第三章 原料場及其機械設備</b>	26		
§ 1 原料場的型式	26		
§ 2 原料場機械設備	30		
<b>第四章 混鐵爐</b>	36		
§ 1 混鐵爐間	36		
§ 2 混鐵爐的結構	38		
§ 3 混鐵爐傾動力矩計算	42		
§ 4 混鐵爐間設備的計算	43		
<b>第五章 裝料設備</b>	45		
§ 1 橋式裝料機的型式及構造	47		
§ 2 橋式裝料機的新應用	74		
§ 3 橋式裝料機的計算	76		
§ 4 地面式裝料機的構造	86		
§ 5 地面式裝料機的計算	96		
§ 6 其它型式裝料機	99		
<b>第六章 平爐結構及其附屬機械</b>	103		
§ 1 平爐結構	103		
		§ 2 平爐換向裝置	107
		§ 3 补爐機	115
<b>第七章 鑄錠設備</b>	119		
§ 1 鑄錠吊車	119		
§ 2 盛鋼桶	125		
§ 3 地澆機	129		
§ 4 連續鑄錠裝置	129		
<b>第八章 脫錠設備</b>	142		
§ 1 新型三用橋式脫錠吊車	142		
§ 2 地上固定式脫模機	149		
§ 3 脫錠吊車計算	151		
<b>第九章 轉爐車間機械設備</b>	155		
§ 1 轉爐車間概述	155		
§ 2 化鐵爐構造及其附屬機械設備	159		
§ 3 轉爐及其傾動機構	165		
§ 4 轉爐車間機械化及吹煉過程的自動控制	182		
§ 5 環轉爐煉鋼設備	182		
<b>第十章 電爐車間機械設備</b>	187		
§ 1 概述	187		
§ 2 三相電弧爐結構	188		
§ 3 感應電爐與真空熔煉	203		
<b>參考文獻</b>	208		

# 第一章 废鋼鐵處理設備

随着国家的日益工业化，将会积累大量黑色金属废件，如冶金工厂、机械制造工厂和建筑运输业在生产中剩下的废料、废旧设备和钢结构，以及机械加工厂的大量切屑等。这些废金属大多用来作为黑色冶金工业的原料。

从不同来源得到的金属废件和废料，它们在化学成分上、重量上、大小上都是极不一致的，其所含各种杂物（如润滑油、渣、泥砂、油漆等）的量也是不相同的。

为了合理地利用各种废件和废料，必须很好地进行分类，分类过程中获得的某些适合于用户利用的废料，应直接送往用户。但绝大多数的废金属，其中有废件和废料，则不能就原状不加处理地利用。小的废料需要压团或打包；大的废件则需要进行破碎。

废钢铁的处理方法有下列几种：

- 1) 锤击破碎——大块生铁铸件及脆性高碳钢废件；
- 2) 火焰切割——金属结构及钢板结构废件；
- 3) 剪断——板料及型钢轧机的废料；
- 4) 折断——不太大的废钢锭及钢坯；
- 5) 爆破——特别重的大块金属、凝结块及大型轧辊；
- 6) 打包——薄板切边、钢丝等；
- 7) 压团——切屑。

本章将重点讲述锤击和打包设备。

## § 1 锤击破碎机械——落锤

落锤是利用一个锤头自由降落的动能（由位能转变的）把不合尺寸的金属废件破碎成合适尺寸的平炉原料。

落锤主要用以破碎大块的生铁废件和易碎的钢废件。含碳低的、柔软的和有韧性的钢件用落锤破碎比较困难，因为这种废件受到冲击力时将被揉捏，不能形成裂缝也不能破坏它的完整性。在这种情况下只能在废件上用火焰切出沟来，以削弱断面，然后冲击，往往能获得成功。

一般在弱断面上冲击，但对生铁件（齿轮、减速箱箱体、中小型机器的机座等）进行破碎时，其弱断面的厚度不应大于500毫米。

适用于落锤破碎的废件基本上有下列几种：中等尺寸的铸件、事先经过火焰切沟或经过爆破的大钢块。炉渣的破碎也应用落锤。

落锤主要有两种类型：(1) 塔式落锤；(2) 吊车式落锤。

### 一、塔式落锤

塔式落锤如图1-1所示，它有一高达30米的金属结构塔架，其正下方有一个放置废钢铁的砖垫，锤头借电动卷扬机提升至塔顶，然后落下冲击砧垫上的废钢铁，卷扬机安装在塔架下旁的卷扬室内。破碎后的成品用铁路蒸汽吊车装入货车运走。

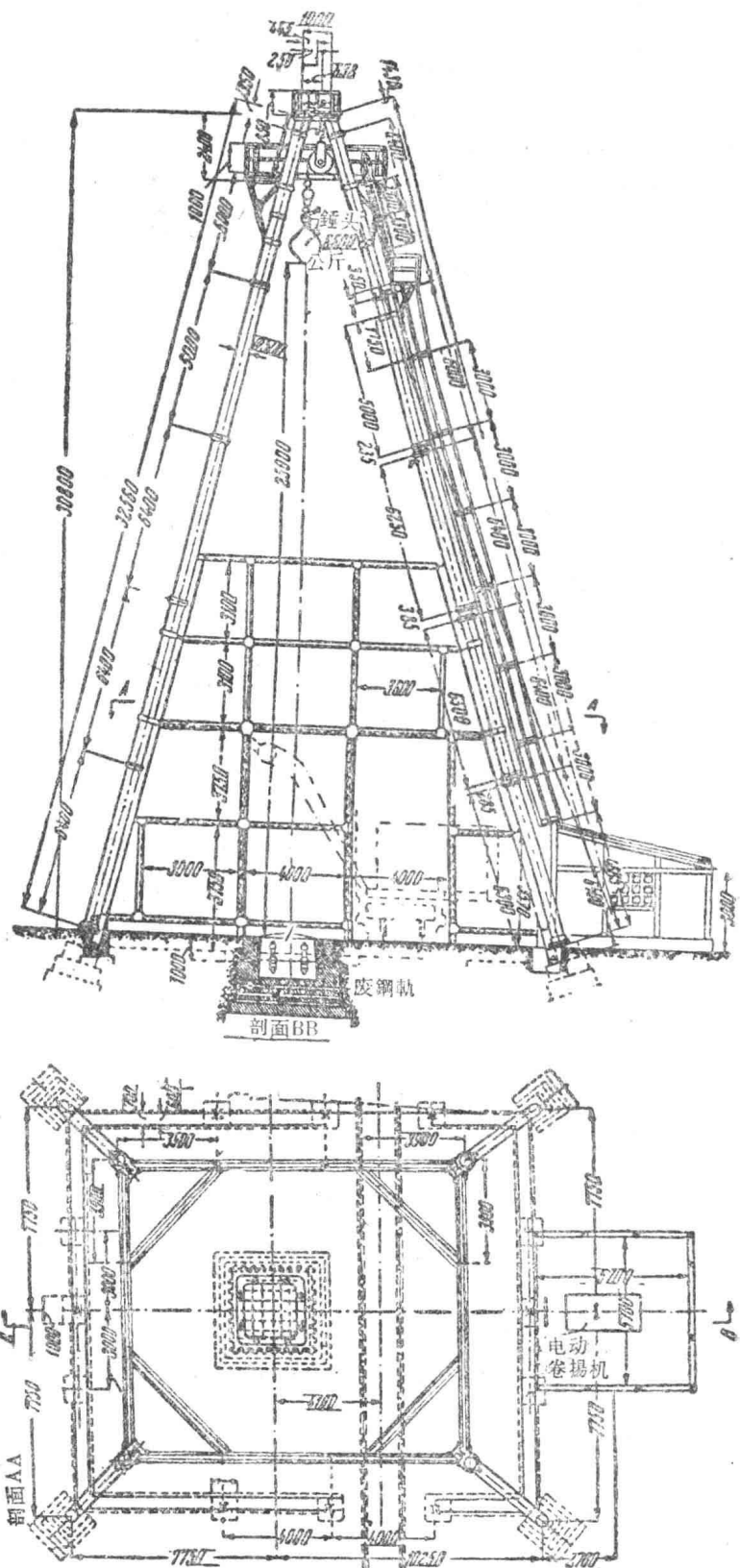


图 1-1 塔式落锤

塔式落錘的主要部件有：錘头、挂錘头用的持重装置、錘头提升卷揚机、砧垫、基础、塔架和防护装置。

下面将介绍塔式落錘设备的几个主要部件。

### 1. 锤头

根据废钢铁的尺寸大小和机械性能，锤头重量由300公斤到15吨，提升高度10~30米。一般大型冶金工厂采用6~10吨的落錘，提升高度为25~30米。

对锤头形状有两点要求：1) 把冲击力集中在一个不大的面积上，以便有效地破碎金属；2) 落下后要稳定，不翻轉。

为满足这两个要求，锤头作成梨形（图1—2），锤头上部有横杆或挂环，底部最好作成心形的尖端。锤头本身受到的冲击反力很大，为免于锤头破裂，用低碳钢铸成，铸后进行一次或二次退火，以消除铸造应力并改善其结晶组织。

铸入锤头头部的横杆（图1—2a）按两端固定的静不定梁中间受一集中载荷（包括锤头重量及提升时惯性力）来进行计算（最大弯矩  $M = \frac{pl}{8}$ ）。

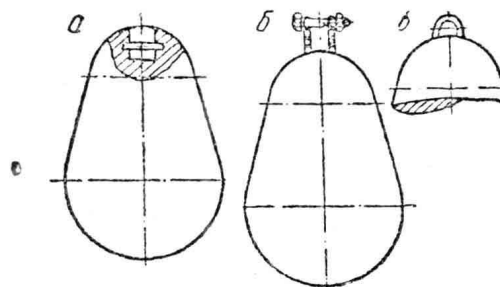


图 1—2 梨形锤头及吊挂结构  
a—铸入横杆； δ—外部横杆； ε—外部挂环

### 2. 持重装置

持重装置用来提升锤头。当提升时，它应当牢固地握住锤头；而在提升到需要高度时，又很容易释放锤头。塔式落錘使用的持重装置有两种：1) 夹鉗；2) 弯鉗。

1) 夹鉗（图1—3） 两个夹鉗5与吊杆1铰接在O点；吊杆1悬挂在钢绳上。销杆2与鉗颚之一铰接在点4，销杆一端有弯鉗钩住另一鉗颚之尾端。这将使鉗口握住横杆；销杆另一端系着钢绳3。当放下锤头时，拉钢绳3使销杆2绕点4回转，弯鉗即脱离鉗颚的尾部，锤头借自重打开夹鉗而下降。

下面我们来分析夹鉗各部分的作用力和脱开夹鉗牵引钢绳3末端所需的拉力（见图1—3）Z。

锤头重Q平均分配在两个鉗颚上，每个鉗颚负担的垂直力为 $\frac{Q}{2}$ ，由于鉗颚端点夹持锤头处为圆弧形，锤头横杆与鉗颚接触点的切线与水平成α角，所以就产生两个作用在左右两鉗颚上的水平推力T。法向力N是 $\frac{Q}{2}$ 和T的合力，它等于：

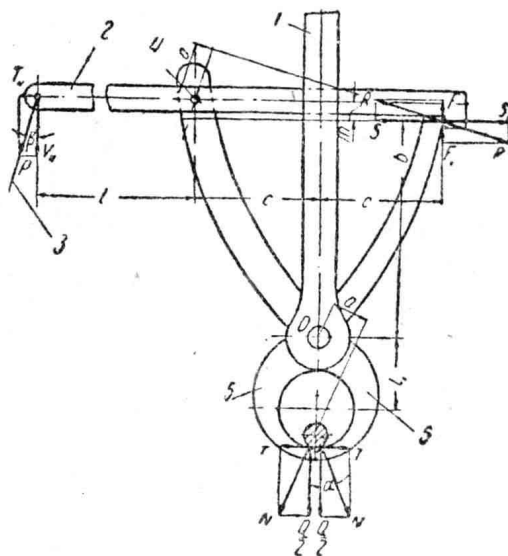


图 1-3 夹 钳

1—吊杆；2—銷杆；3—鋼繩；4—鉸點；5—鉗頭

$$N = \frac{Q}{2\cos\alpha}$$

式中  $\alpha$  值由下式求得：

$$\sin \alpha = \frac{r}{R + r}$$

式中：r ——鉗頭端點的圓角半徑；

R ——錘頭橫杆的半徑。

取一鉗頭為自由體，並對O點取力矩， $\sum Mo = 0$ ，得：

$$Na\eta' = Sb + FC$$

式中： $\eta'$  ——考慮鉗頭繞O點迴轉的效率；

a、b、c ——見圖1-3；

F ——在拉开銷杆時產生在鉗頭尾端的摩擦力，等於：

$$F = S\mu$$

$\mu$  ——在靜止時的摩擦系數(0.25)。

將F代入方程式，得：

$$Na\eta' = Sb + S\mu C$$

$$S = \frac{Na\eta'}{b + \mu c}$$

作用在銷杆上的  $S_1$ 、 $F_1$ 、 $R_1$  三力為反作用力，其絕對值等於  $S$ 、 $F$ 、 $R$ ，但方向相反。

為了張開夾鉗，須在銷杆一端的鋼繩固定點上加一力  $P$ ， $P$  力可根據  $\sum M_4 = 0$  求出：

$$P \cos \beta l \eta = F_1 2C - S_1 m = S_1 2C \mu - S_1 m$$

式中：  $P$  ——作用在銷杆端鋼繩方向的拉力；

$\beta$  ——鋼繩與垂直方向的夾角；

$l, m, c$  ——見圖1—3；

$\eta$  ——銷杆效率。

上式經整理後，得：

$$P = S_1 \frac{2\mu c - m}{l \eta \cos \beta}$$

考慮到鋼繩自重的影響，則脫開夾鉗時鋼繩末端的拉力為：

$$Z = P - q L \cos \beta$$

式中：  $q$  ——鋼繩單位長度的重量，公斤/米；

$L$  ——鋼繩長，米。

在確定各作用力的基礎上，進行各零件強度的計算。

2) 弯鉤（圖1—4） 錘頭橫杆懸掛在弯鉤的弯曲下端部，當提升時錘頭橫杆中心在通過弯鉤懸掛鋼繩點的垂直線上，弯鉤支持橫杆的下端部呈水平，錘頭對弯鉤旋轉軸無轉動力矩產生，所以錘頭停在弯鉤上。在弯鉤的另一端系一鋼繩，工人拉鋼繩，弯鉤即轉動，支持橫杆的弯鉤下端傾斜，直到下滑分力  $T$  大於摩擦力  $F$  時，錘頭即自弯鉤上滑下。

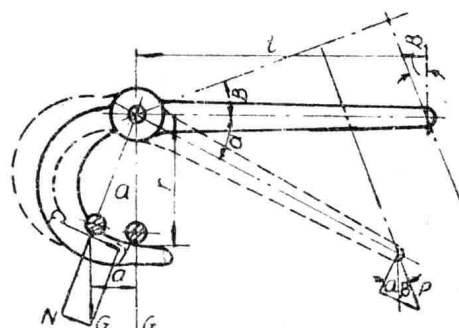


圖 1—4 弯 鉤

使弯鉤轉動牽引鋼繩所需的拉力計算如下：

當弯鉤轉動時，支持錘頭橫杆的下端部呈傾斜狀，錘頭重  $G$  分解為兩個力  $T$  與  $N$ ：

$$T = G \sin \alpha; \quad N = G \cos \alpha$$

分力  $T$  企圖克服摩擦力  $F$  使錘頭滑下，但弯鉤必須轉動某一角度  $\alpha$ ，使分力  $T$  等於或大於摩擦力  $F$  時，錘頭才開始從弯鉤口滑下。

$$F = N \mu = G \mu \cos \alpha$$

式中：  $\mu$  ——滑動摩擦系數。

當錘頭開始滑落時，  $T \geq F$

即  $G \sin \alpha \geq \mu G \cos \alpha$

化簡  $\tan \alpha \geq \mu = \tan \rho$ ，即  $\alpha \geq \rho$

式中:  $\rho$  —— 摩擦角。

結論: 当弯鉤轉動角  $\alpha$  等于或大于摩擦角  $\rho$  时, 錘头即开始下落。

欲将弯鉤轉動一  $\alpha$  角, 必須克服力图把弯鉤恢复原位的錘头重力力矩, 該力矩等於:

$$M = Ga = Gr\sin\alpha$$

式中:  $a$ 、 $r$  —— 見图1—4。

由鋼繩拉力  $P$  所形成的力矩:

$$M_1 = Pl\cos(\alpha + \beta)$$

式中:  $l$  —— 見图1—4;

$\beta$  —— 鋼繩与垂直線夹角。

为使弯鉤迴轉, 則必須  $M_1 \geq M$ , 即

$$Pl\cos(\alpha + \beta) \eta \geq Gr\sin\alpha$$

則

$$P \geq \frac{Gr\sin\alpha}{l\cos(\alpha + \beta)\eta}$$

式中:  $\eta$  —— 弯鉤迴轉效率。

考慮到鋼繩自重, 則鋼繩末端拉力为:

$$Z = P - qL\cos\beta$$

### 3. 落錘提升卷揚机

落錘提升卷揚机的結構型式极多, 基本上与一般起重鉗車相同, 它不仅用于提升錘头, 并且也用于收拾废件或提升其他物件。提升錘头时, 由于錘头重量較大, 应以較小速度提升, 这样可以減小电动机容量; 当提升其他輕的东西时应以較大速度提升, 这样可以充分利用电动机功率并提高工作效率, 所以落錘卷揚采用两种不同的提升速度較为合理。图1—5是双速落錘卷揚机。

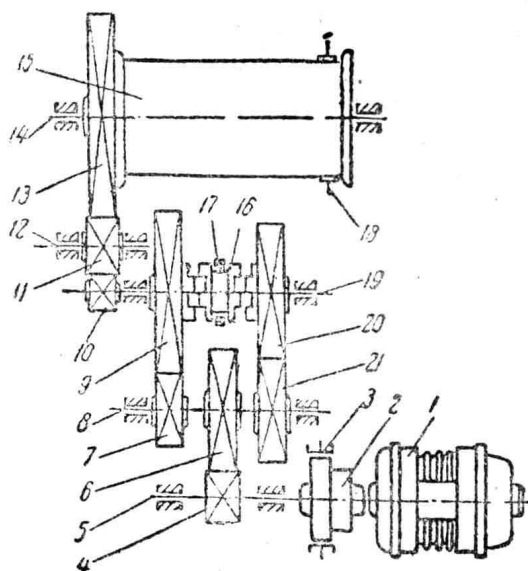


图 1—5 双速落錘卷揚机

1—电动机; 2—联軸节; 3—制动器;  
4、6、7、9、10、11、13、20、21—  
齒輪; 5、8、12、14、19—軸;  
16—离合器; 15—卷筒; 18—制动器

提升锤头时，电动机1经弹性联轴节2、传动轴5，再经齿轮4、6而传动轴8；轴8上装有齿轮7和21，齿轮9与20滑套在轴19上，分别与齿轮7和21相啮合，并与半离合器相固定；离合器借滑键与轴19相联，并借叉形接头17的传动沿轴向移动。提升锤头时，将离合器16与齿轮9的半离合器相联接，从而传动轴19，再经过齿轮10、11、13传动卷筒15。当锤头升到塔顶，用制动器3制动，打开夹钳或转动弯钩使锤头自由下落。然后，使离合器16脱离齿轮9后处于中间，松开制动器18，夹钳在自重作用下下降，下降速度与终点制动由脚踏制动器18进行控制。

提升较小荷重时，使离合器16与齿轮20的半离合器相联，传动卷筒。由于齿轮对20、21的速比小于齿轮对7、9的速比，因而能以较大的速度提升荷重。

用双速卷扬机代替普通卷扬机时，塔式落锤的生产能力由于辅助动作时间的缩短而提高15~20%。此外，由于夹钳或弯钩在电动机切断时借自重下降，可以节省电力，所以双速卷扬机是值得利用的。

卷扬机零件的强度计算和电动机容量的确定，均用起重运输设备课程中所述方法进行。

#### 4. 砧垫和基础

最简单的砧垫是用大钢块或废的大钢锭打入土中。这种砧垫的建筑不论在费用上或时间上都较经济，适用于中小型炼钢车间。但对松软的土质是不适宜的，因为钢块会逐渐陷入土中。为了正常工作，须陆续添入钢块，这将消耗过多的钢。

在具有中等结实时度的土质中，可以用捣实的砂子垫在砧垫的底下作垫座，如图1—6。

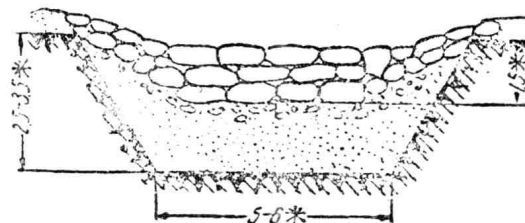


图 1—6 底座捣实的砧垫

在地上挖一坑，坑内捣以砂子作垫座。砂层厚度视锤头重量决定，3吨以下锤头，厚度为0.5~1米；3吨以上为1~2米以上。然后在砂层上铺以废钢锭或大块凝固钢，其厚度为0.8~1米。

上述两种砧垫的缺点是：1) 落锤的效率低，锤头落下时的动能大量消失于地基的振动及钢块之间的相对摩擦（因组成砧垫的钢块受冲击后会有不同的运动速度）；2) 地基的振动大，对周围的建筑物有不利影响。

在大型破碎车间，为提高落锤效率，减小地基振动，采用了块式砧垫及基础。图1—7为现代的锤头重10吨、提升高度为30米的落锤砧垫和基础。在深9米的坑底上铺以厚3米的矿渣混凝土，在矿渣混凝土上筑有钢筋混凝土基础。因为落锤落在砧垫上时，基础承受很大的冲击负荷，所以应采用高强度的混凝土来建造基础。重达100吨的整体钢砧垫用地脚螺栓固定在上层基础上。在砧垫与上层基础之间有一层厚750毫米的砂子

碎石弹性垫。弹性垫虽然会消失一部分锤头的动能，但它可提高混凝土基础的寿命，减少地基的振动。

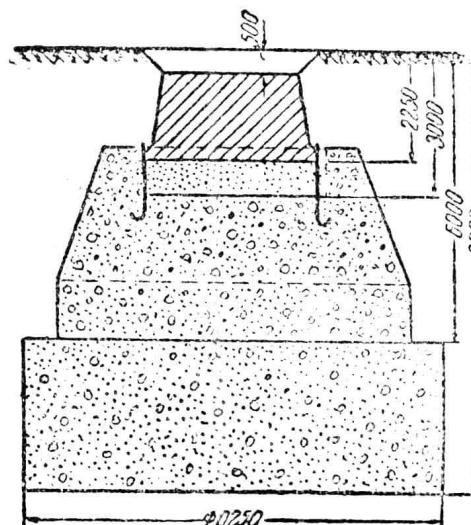


图 1-7 现代落锤的砧垫

按撞击理論，破碎时锤头的动能一部分用于破碎砧垫上的废鋼鐵，这部分是有效功；另一部分消耗于砧垫、基础和锤头的弹性变形和弹性振动上，这部分是能量的损失。

消耗在废件破碎上的能量（即有效功），由下式确定：

$$A = (1 - k^2) \times \frac{m_1 m_2}{m_1 + m_2} \times \frac{(U_1 - u_1)^2}{2}$$

式中：k——冲击恢复系数（0.6~0.7）；

$m_1$ ——锤头质量（公斤·秒<sup>2</sup>/米）；

$m_2$ ——砧垫和基础质量总和（公斤·秒<sup>2</sup>/米）；

$U_1$ ——锤头与废件刚接触时的运动速度（米/秒）；

$u_1$ ——锤头在冲击后的运动速度（米/秒）。

将上式分子分母均除以  $m_2$ ，则得：

$$A = (1 - k^2) \times \frac{m_1}{\frac{m_1}{m_2} + 1} \times \frac{(U_1 - u_1)^2}{2}$$

从这个公式可得出結論：增大砧垫和基础的质量  $m_2$ ，可以更多地利用锤头下落的动能，有效地破碎废件。同时，还可以減小基础在冲击时的振动。

塔式落锤是一种简单的落锤裝置，其建筑費用較低。其缺点如下：

- 1) 生产能力低；
- 2) 需要铁路蒸汽起重机或其它简易起重机进行装卸工作；
- 3) 悬挂锤头的方法运用不方便。

故塔式落錘仅适用于中小型的工厂。在大型工厂中都采用了生产能力較高的吊車式落錘（見圖1—8）。

## 二、吊車式落錘

圖1—8為吊車式落錘。吊車柱架包括兩段，一段有一層吊車軌道，另外一段有二層吊車軌道。上層軌道面標高為20~25米，用來提升錘頭以進行破碎工作；下層軌道標高15~20米，為裝卸廢件或破碎強度較小的平爐鋼渣用。在地面鋪設2~3條軌道，用以對車間供給不合尺寸的廢件和收集已破碎的廢件。敞開式吊車式落錘車間的厂房，沿其支柱都有用圓木製成的防護牆，以防破碎小塊飛出傷人。

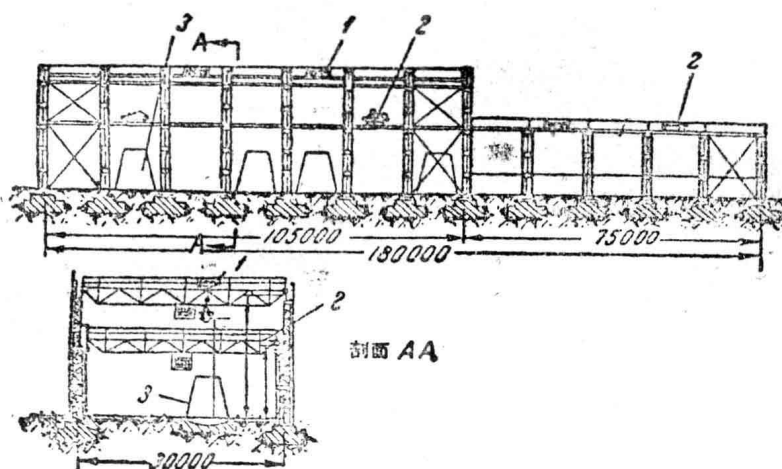


图 1—8 吊車式落錘

1—破碎用房車；2—運輸用吊車；3—保護罩

錘頭為鑄鋼的圓球。提升錘頭及收集和裝料等作業均用磁力吊車來進行。電磁鐵需要直流電，這就需要添設電氣設備。

吊車式落錘與塔式落錘的基本區別在於：前者破碎工作不是在一個很小面積的砧墊上進行，而是在幾個砧墊上或沿厂房所築的一條長砧墊上連續進行。當一處在破碎時，另一處在收集，而第三處則在準備破碎材料。後者是間歇工作的。

吊車式落錘的優缺點：

1) 由於生產時能在幾個砧墊上同時進行破碎、鋪料、收集成品的工作，又由於電磁鐵吸取錘頭方便迅速，因此，生產率較塔式落錘高3~7倍，設備利用率亦高。

2) 錘頭提升高度較低（18.5~23.5米）。這是由於高度增加後建築投資大大增加；其次，高度愈高，錘頭命中率降低；再次，提升太高時，吊車鋼繩在工作時會繞垂直方向扭轉。為增加錘頭下落的有效高度起見，也可以採用四下的砧墊。

## § 2 打包机

打包過程就是把松散的金屬廢料壓堅實，以提高其堆比重。需要打包的金屬廢料為薄板切邊、其它一些厚度不大的板狀生產廢料、廢鋼絲、薄板制品廢件等。利用這類廢鋼鐵作為平爐原料，如果不預先經過加工，就必然會造成一系列困難：

- 1) 堆比重很小的原料，需要大量的草皮来运输，这样就增加了运输费；
- 2) 这种材料在贮存时必然要占据很大的面积并把贮料场阻塞，这在封闭式贮料场的情况下尤其感到严重。当把它堆置在露天时，由于表面太大它们又会很快氧化；
- 3) 电磁铁在装卸轻型的废钢铁时的载重量要小得多，显著地降低了吊车的生产能力；
- 4) 把未经打包的轻型废钢铁装炉，装料时间增长，炉子散热量增加，使炉子生产率降低；
- 5) 未经打包的轻型废钢铁以熔炼所需的重量装于炉内时，需占据很大的炉床体积。致使火焰偏向炉顶而有烧化炉顶的危险，这样就不得不把炉子保持在较低的热状态下，从而使熔化时间延长；
- 6) 轻型废钢铁的表面较大，非常容易氧化，形成氧化微粒而被烟气带到烟道和蓄热室。这不仅损失了金属，而且也堵塞了烟道。

打包机按结构分有：1) 二压头式；2) 三压头式（应用较广）。三压头打包机从三个方向进行压缩，如图1—9。

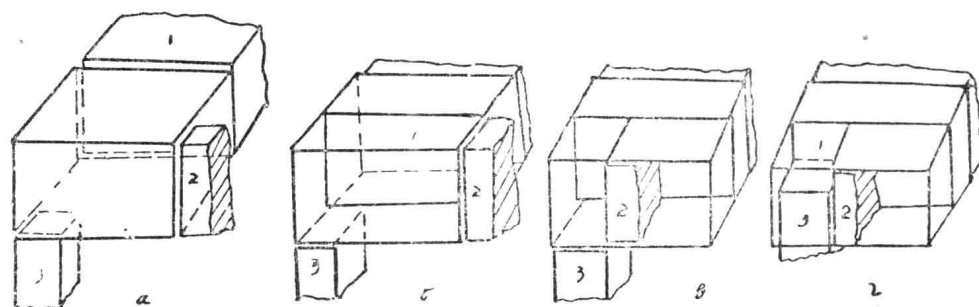


图 1—9 三压头式打包机工作过程

按驱动分为：1) 电力驱动；2) 液压驱动。

### 一、电力驱动的打包机

图1—10所示为电动打包机构造图。它由工作箱、箱盖、一个正面压头、两个侧面压头及两个推出冲头组成。图1—11为其示意图。当工作箱1内装满金属后，盖上箱盖，首先初压机构工作，电动机8经减速箱9传动丝杠10，丝杠支承在止推轴承和径向轴承11上。滑架12有青铜螺母13，螺母13旋在丝杠10上，丝杠转动即带动滑架12沿丝杠轴向移动，滑架用连杆7与初压头2（即正面压头）的凸耳铰接。电动机8工作后，即使初压头压缩金属废料。初压头压至终点（图上虚线位置）后，两个侧面压头3（终压机构）经电动机减速箱借丝杠传动，作相向运动压缩金属。压缩终了，打开箱盖，压头2及3返回原位，金属包借推出冲头5推出工作箱后壁，然后用吊车将金属包运走。

顶盖是一箱形断面铸钢件，它的传动机构如图1—12。顶盖1固定在空心轴2上，顶盖1由电动机8经蜗杆蜗轮减速箱7，正齿轮8、轴9、曲柄10、连杆5传动。连杆5铰接在固定于顶盖上的横梁3上的凸耳4上。顶盖可以回转120°。

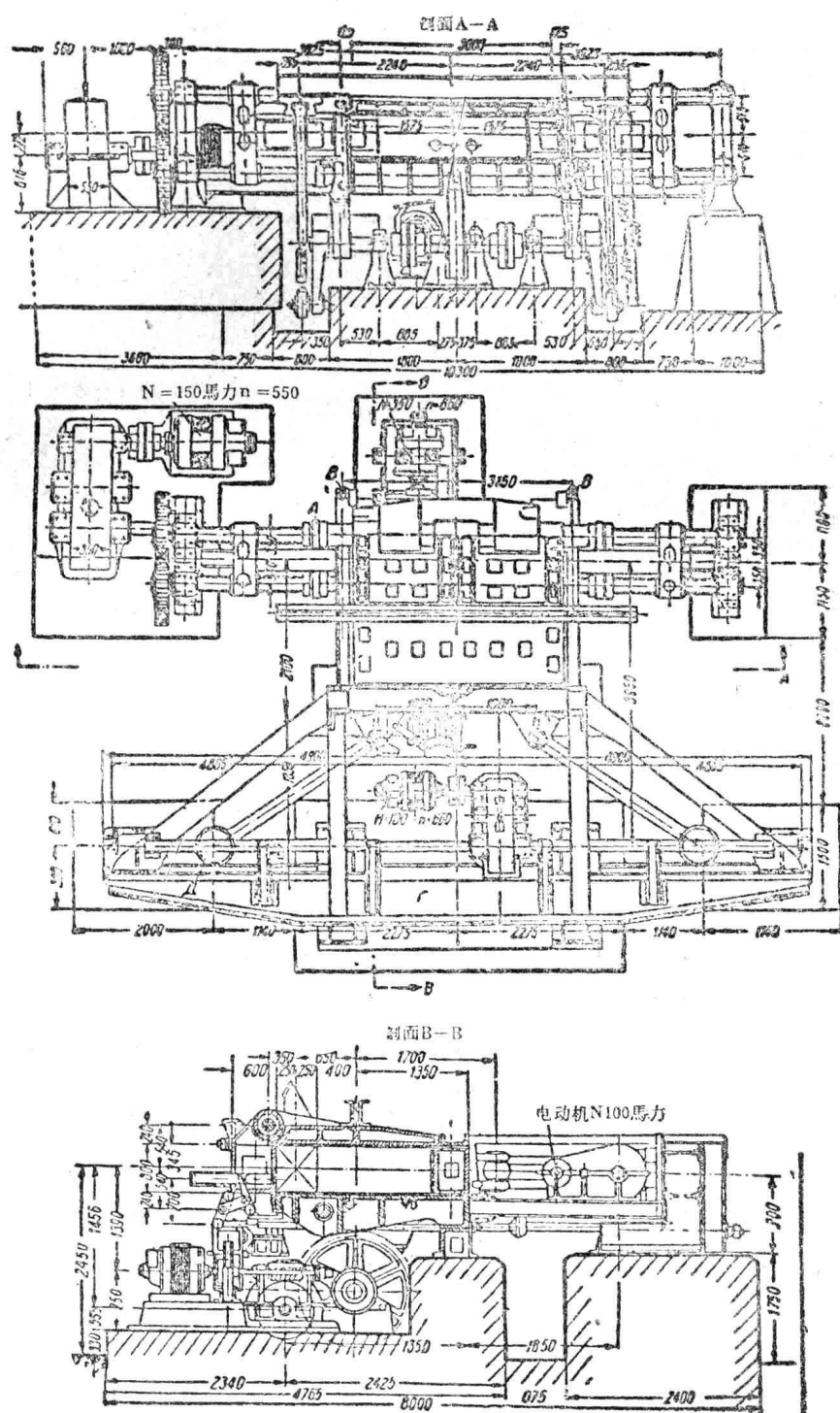


图 1-10 电力驱动打包机

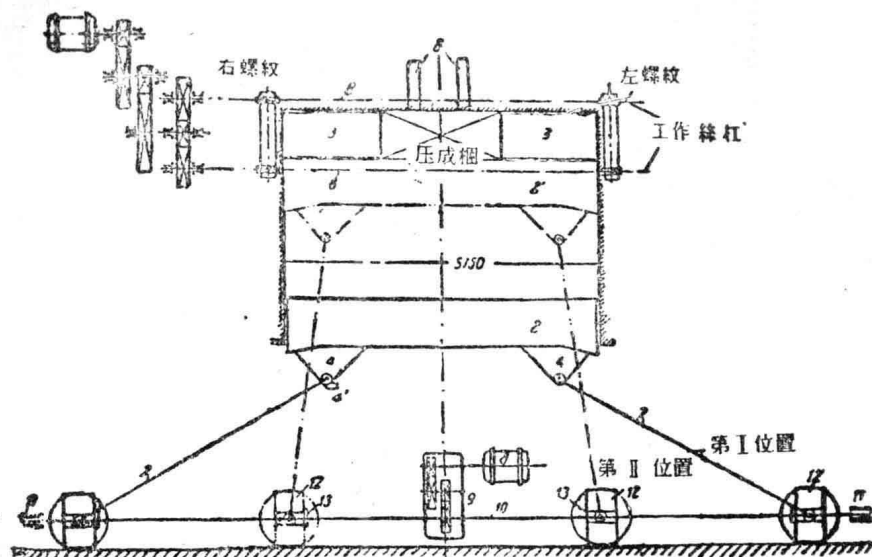


图 1-11 电力振动打包机工作原理

1—工作箱；2—初压头；3—侧面压头；4—凸耳；5—滚轮；6—推出冲头；7—连杆；  
8—电动机；9—减速机；10—丝杠；11—轴承；12—滑架；13—螺母

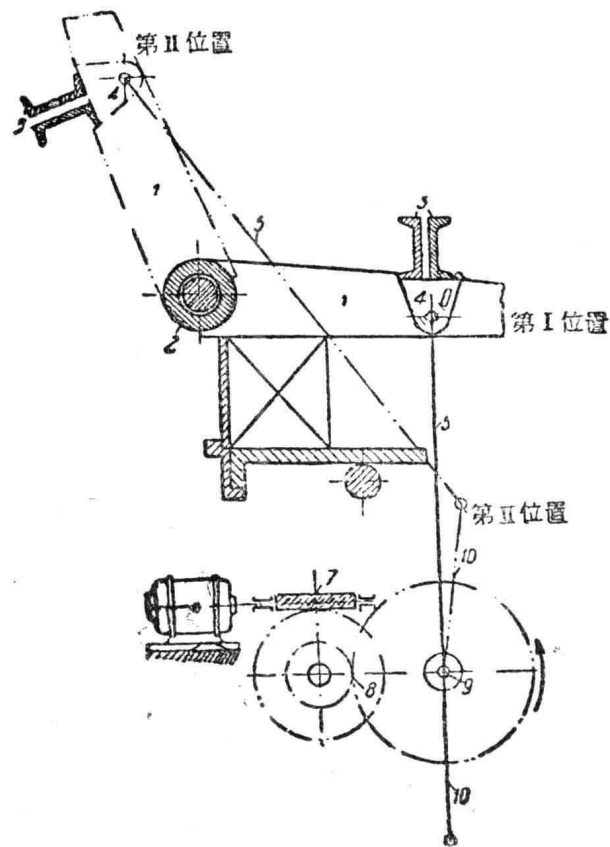


图 1-12 顶盖机构

1—顶盖；2—空心轴；3—横梁；4—铰接点；5—连杆；6—电动机；  
7—蜗杆；8—齿輪；9—轴；10—曲柄

推出机构将金属包推离后壁，以便电磁铁吸取，见图1—13。杠杆3绕中间支点可回转，一端有槽，与杠杆4相连，杠杆4固定在立轴5上端，立轴5下端固定着杠杆6，杠杆6另一端有槽与连杆7相联。连杆7通过工作箱底下部，与杠杆8联接，再经拉杆10、杠杆11和冲头1相联系。正面压头后面有凸块2与13，当正面压头返回时，凸块2先推动杠杆3回转，从而经4、5、6、7、8、9、10、11传动冲头1通过后壁的孔推金属包12前移。当凸块2与13脱离后，凸块13与杠杆3及4铰接处的滚轮14相接触，推动杠杆系统返回原来位置。

打包机工作箱的容积 $V_k$ 为 $3.15 \times 1.9 \times 0.6 = 3.6$ 米<sup>3</sup>。压成包的容积 $V_n$ 为 $0.5 \times 0.6 \times 1.2 = 0.36$ 米<sup>3</sup>。容积压缩比  $V_k : V_n = 10$ 。

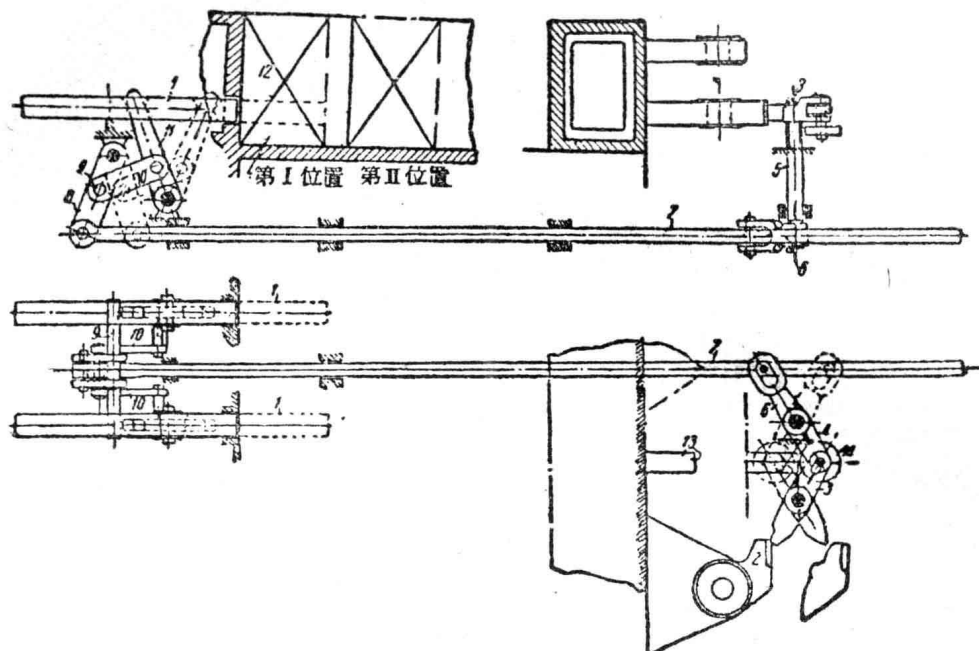


图 1—13 推出机构

1—冲头；2—凸块；3、4、5、6、8、9、11—杠杆；7—连杆；10—拉杆；  
12—金属包；13—凸块；14—滚轮

## 二、液压驱动的打包机

打包机为了压缩松散零碎废钢，提高其堆比重，需要很大的压力。但是这种大压力的产生和承受，若利用机械驱动的方法，则驱动机构相当庞大，亦即设备重量较大。同时在打包过程中很可能产生阻塞现象，对机械驱动方式来说也是很不利的，因而现在采用液压驱动的方案较多，图1—14所示为某厂ΠΓ—400 打包机立体图。

打包机有五个基本组成部分：

- 1) 箱体——工作室；
- 2) 装料机构——通过由压缩空气驱动的翻斗，将由磁力吊车送来的松散料装入工作室；

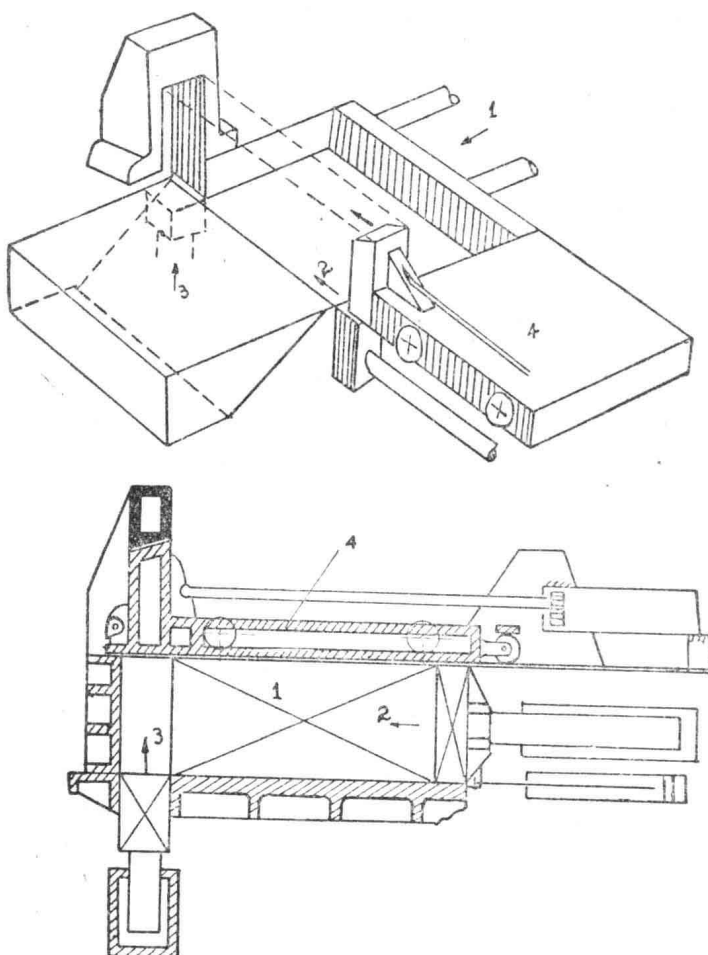


图 1-14 液压驱动打包机立体图

1—第一次压头；2—第二次压头；3—末次压头；4—顶盖

3) 盖子与闭锁装置——压缩空气驱动；

4) 压缩机构；

5) 压成包后的推出机构。

它是三压头打包机，压缩厚度为6毫米以下薄板切边。打成包的尺寸为 $400 \times 500 \times 500 \sim 800$ 毫米；包的重量为350~500公斤。打包机的平均生产能力为5吨/小时。第一次压缩力为96吨，第二次为180吨，末次压缩力为400吨，这时单位压力为200公斤/厘米<sup>2</sup>。

第一級压头的面积为 $1090 \times 2760$ 毫米<sup>2</sup>；第二級压头为 $290 \times 1100$ 毫米<sup>2</sup>；第三級压头为 $400 \times 500$ 毫米<sup>2</sup>。

压缩利用液压柱塞，回程用压缩空气。

工作过程如下：

1) 初位置：盖子4盖好；第三級压头3在最高位置；第一、二級压头在原始位置；